

Erganzung zum Beitrag in FA 06/23, S. 465 „Zusatzmodul fur den Eingang eines Digitaloszilloskops“

Im Folgenden geht es um Signalverzerrungen, die bei aktivierter Wechselspannungskopplung am Oszilloskop auftreten konnen. Solche Effekte lieen sich u. a.

ist offensichtlich gerateintern eine weitere Zeitkonstante aktiv.

Bei der oszilloskopischen Untersuchung komplexer Signalverlaufe erschwert jede

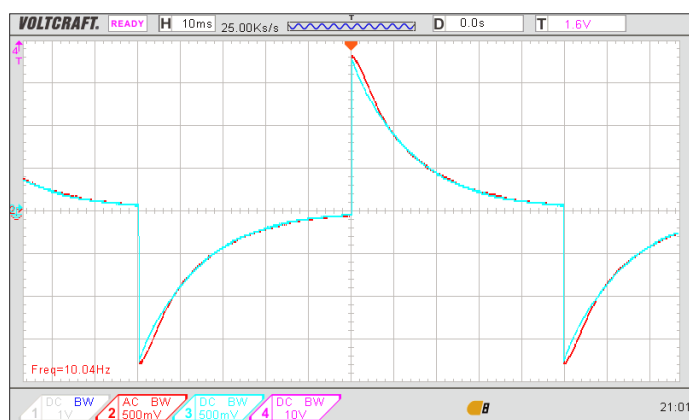


Bild E1:
Sprungantwort bei Wechselspannungskopplung und mit externem Hochpassfilter gleicher Grenzfrequenz, hier bei einem 10-Hz-Rechtecksignal ...

am Vierkanal-Oszilloskop *Hantek DSO4084B* (alias *Voltcraft DSO1084E*) sowie am Modell *DST1102E* von *Tekway* beobachten. Andere Digitaloszilloskope wie das *SDS8302* von *OWON* und das *UTD1025DL* von *Unitrend* zeigten hingegen bei eingeschalteter Wechselspannungskopplung eine einwandfreie Rechteck-Sprungantwort, namlich einen exponentiellen Abfall gema $U(t) = U_0 \cdot e^{-t/\tau}$ mit der Hochpasszeitkonstante

$$\tau = \frac{1}{(2 \cdot \pi \cdot f_U)}$$

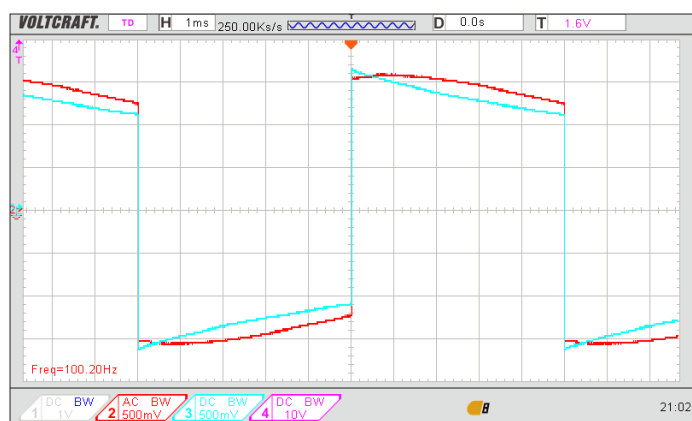
In Bild E1 stellt die rote Kurve die Rechteck-Sprungantwort des Kanals 2 am *DSO1084E* mit aktivierter AC-Kopplung dar. Dasselbe Rechtecksignal gelangte auf Kanal 3 (hellblau), der auf DC-Kopplung geschaltet war.

Ein zwecks Vergleichs eingefugtes RC-Hochpassfilter wurde so dimensioniert, dass beide Kurven sich bestmoglich decken. Hierfur war eine Zeitkonstante von 17 ms notwendig, entsprechend 9,4 Hz unterer Grenzfrequenz.

Nun wurde bei unverandertem Aufbau die Rechteckfrequenz auf 100 Hz erhohet und die Zeitbasis am Oszilloskop auf 1 ms/div verringert.

Das Ergebnis ist in Bild E2 zu sehen. Wahrend das externe Hochpassfilter weiterhin einen korrekten Signalverlauf erzeugt (blaue Kurve), verursacht die interne AC-Kopplung des Oszilloskops eine irritierende Verzerrung mit anfanglich sogar ansteigender Amplitude. Hier

Bild E2:
... und im zweiten Fall bei einem eingespeisten 100-Hz-Rechtecksignal



zusatzlich beteiligte Zeitkonstante die Auswertung. Solche Effekte zu vermeiden, ist bereits ein Motiv, die AC-Kopplung kontrolliert mit einem externen Hochpassfilter zu realisieren. Nebenbei bietet sich die Moglichkeit, dessen 3-dB-Grenzfrequenz nach eigenen Vorstellungen zu bemessen.

Bei dem im Beitrag beschriebenen Modul ist beispielsweise $f_U = 1,6$ Hz. Wer ganz uberwiegend mit hohen Frequenzen zu tun hat, wird vielleicht $f_U = 1$ kHz wahlen, um nebenbei auch 50-Hz-Netzbrumm-Einstreuungen im dargestellten Signalverlauf zu dampfen.

Fehler durch dielektrische Nachwirkung

Bekanntlich haben Kondensatoren, je nach Material, ein unerwunsktes „Gedachtnis“. Ein zuvor langere Zeit geladener und dann kurzgeschlossener Kondensator wird anschlieend spontan wieder einen Bruchteil der vorherigen Spannung an seinen Anschlussen aufweisen.

In Bild E3 ist das Ergebnis eines kleinen Tests dargestellt. Eine sehr tieffrequente

Rechteckspannung mit 10 V Sprunghohe, hier auf Kanal 1 (dunkelblau) zu sehen, gelangt uber einen 100-nF-Keramikkondensator auch an den Oszilloskopeingang 2 (rot) und uber einen 100-nF-Polypropylenkondensator an den Eingang 3 (hellblau). Zusammen mit dem Eingangswiderstand 1 M der Kanale entsteht jeweils dieselbe Hochpassfilter-Zeitkonstante von 0,1 s.

Anhand der Gleichung $U(t) = U_0 \cdot e^{-t/\tau}$ ware zu erwarten, dass z.B. 1,2 s nach dem Sprung, entsprechend 2,4 Skalenteilen, die 10-V-Spannung auf 0,06 mV abgeklungen ist. Mit dem Polypropylenkondensator werden immerhin etwa 1 mV erreicht, wahrend beim Keramik-kondensator noch 6 mV zu sehen sind.

Das versuchsweise Vertauschen der Oszilloskopeingange 2 und 3 ergab dasselbe Bild, mit vertauschter roter und hellblauer

Kurve. Ein moglicherweise abweichendes Erholungsverhalten der ubersteuereten Oszilloskopeingange ist daher nicht der Grund fur die unterschiedlichen Verlaufe.

Vielmehr ist hier die dielektrische Nachwirkung der beiden Kondensatoren ursachlich. Sie ist mehr oder weniger ausgepragt. Ein nachfolgender Vergleich eines 100-nF-Polyester- mit einem 100-nF-Polypropylenkondensator ergab nur noch einen minimalen Unterschied zugunsten letzteren Materials.

Damit steht die Qualitats-Rangfolge fest: Polypropylen – Polyester – Keramik. Weil auch die Temperaturkonstanz des Kapazitatswertes sich gema dieser Rangfolge erhalt, fiel die Wahl bei dem im Beitrag beschriebenen Modul auf einen Polypropylenkondensator. Ein 100-nF-Kondensator mit 250 V Spannungsfestigkeit passte noch gut in das kleine Weiblechgehause.

HF-Tauglichkeit des Moduls

Messaufbau: Der Ausgang eines Rechteckgenerators mit etwa 1,5 ns Eigenan-

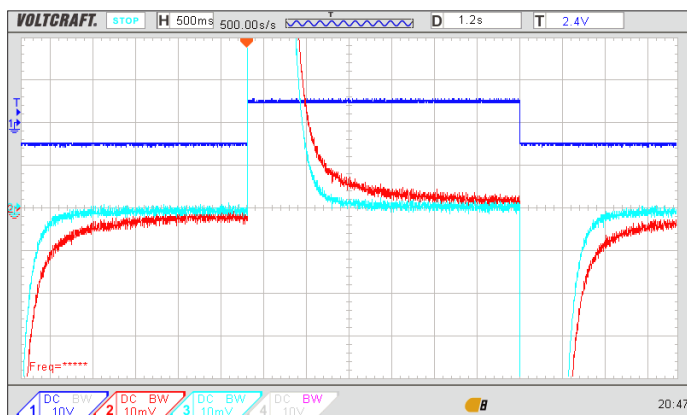


Bild E3:
Vergleichstest
zur dielektrischen
Nachwirkung von
Koppelkonden-
satoren

Das 300-MHz-Gerat *OWON SDS8302* deckt leichte signalverfalschende Einflusse des Moduls auf (Bild E5), denn in der unteren Kurve wird etwas mehr berschwingen angezeigt.

stiegszeit geht ber ein BNC-T-Stck an zwei 20-dB-Dampfungsglieder zwecks Entkopplung und Verringerung der Fehl-anpassung. Der Ausgang des einen Dampfungsglieds ist ber 50 cm Koaxialkabel

Bild E4:
HF-Verhalten ohne
und mit Vorschal-
tmodul, dargestellt
auf einem 80-MHz-
Oszilloskop

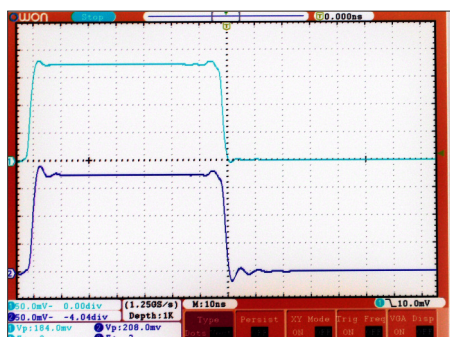
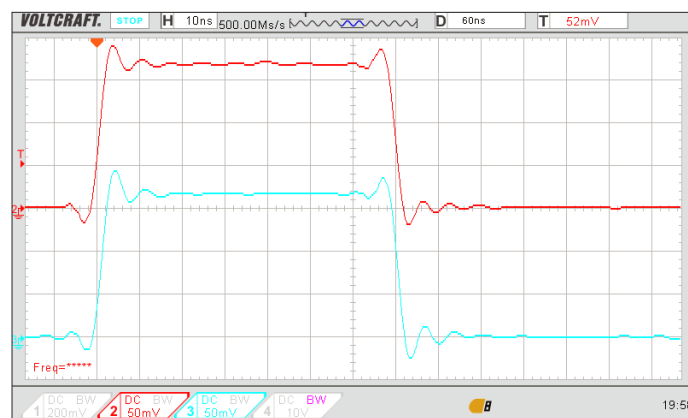


Bild E5: HF-Verhalten ohne und mit Vor-schaltmodul, dargestellt auf einem 300-MHz-Oszilloskop

RG58 mit einem Oszilloskopeingang verbunden, dessen Signalverlauf in den Bildern E4 und E5 jeweils oben zu sehen ist. Der Ausgang des zweiten Dampfungsglieds geht ber 50 cm RG58-Kabel zum zweiten Oszilloskopeingang, vor dem jedoch das im Beitrag beschriebene Vorschaltmodul eingefgt ist. Der Signalverlauf ist in den Bildern E4 und E5 jeweils unten dargestellt.

Die Anstiegs- und Abfallzeiten von jeweils etwa 2 ns, die sich durch pythagoraische Addition der Eigenanstiegszeiten des Rechteckgenerators (1,5 ns) und des Oszilloskops (1,2 ns) ergeben, werden offensichtlich vom Modul nicht erhht, d.h. verschlechtert. Dieses kann also auch bei hochfrequenten Messungen angekoppelt bleiben.

Mit einem 80-MHz-Oszilloskop *Voltcraft DSO1084E* ist praktisch kein Unterschied auszumachen (Bild E4).

Michael Franke